

Влияние доменной структуры в подмагничивающем поле на высокочастотную восприимчивость ферромагнетика

© Ю.И. Джежеря, И.К. Локтионов*

Донецкий государственный университет,
340055 Донецк, Украина

*Донецкий технический университет,
340055 Донецк, Украина

(Поступила в Редакцию 21 марта 1996 г.
В окончательной редакции 29 октября 1996 г.)

На основании уравнений Ландау–Лифшица исследованы высокочастотные свойства двухосного доменсо-держашего массивного ферромагнетика, находящегося во внешнем магнитном поле с модулированной амплитудой. Определены компоненты тензора частотной магнитной восприимчивости и зависимость резонансной частоты однородных пульсационных колебаний полосового домена от амплитуды внешнего магнитного поля.

В настоящее время наиболее полно изучены свойства блоховской и неелевской 180° доменных стенок (ДС) в ферромагнитных системах с сильной легкоосной составляющей магнитной анизотропии [1–3], а также свойства движущейся уокеровской границы в двухосном ферромагнетике [2–4]. Были проведены теоретические и экспериментальные комплексные исследования спектра элементарных возбуждений 180° ДС [5–9].

Не менее интересна, но менее изучена 2π -ДС, которая может рассматриваться как связанное состояние двух 180° блоховских ДС и является одним из основных элементов магнитной структуры ЦМД-материалов. Аналитическое выражение, описывающее ее в одномерном случае, впервые было получено Ширококовым [10]. Устойчивость изолированной структуры 2π -ДС изучалась в работах [11,12]. В них было установлено, что существует критическое поле смещения, при котором 2π -ДС теряет устойчивость, а также определено его значение. Дальнейшие исследования привели к обнаружению локализованного резонансного уровня однородных пульсационных колебаний 2π -ДС, образовавшегося при расщеплении бесщелевых трансляционных уровней двух блоховских ДС в поле смещения [12–14]. Статические и динамические свойства солитонных состояний, соответствующих 2π -ДС, определялись численными методами [15].

В настоящей работе определен вклад, который вносит решетка 2π -ДС, образующаяся при наличии постоянной составляющей поля смещения, в магнитную восприимчивость массивного двухосного ферромагнетика с плотностью энергии

$$w = \left\{ \frac{\alpha}{2} \left(\frac{\partial \mathbf{M}}{\partial \mathbf{x}} \right)^2 - \frac{\beta}{2} M_z^2 + \frac{\rho}{2} M_x^2 + \frac{\mathbf{H}_m^2}{8\pi} - \mathbf{M}\mathbf{H} \right\}, \quad (1)$$

где \mathbf{M} — вектор намагниченности, α, β, ρ — постоянные обменного взаимодействия, легкоосной и ромбической анизотропии соответственно, \mathbf{H}_m — собственное магнитостатическое поле образца, \mathbf{H} — внешнее магнитное поле.

Выбирая OX в качестве полярной оси сферической системы координат, введем углы пространственной ориентации θ и φ , связанные с компонентами намагниченности следующим соотношением:

$$\frac{\mathbf{M}}{M_0} = \mathbf{m} = \begin{pmatrix} \cos \theta \\ \sin \varphi \sin \theta \\ \cos \varphi \sin \theta \end{pmatrix}, \quad (2)$$

где M_0 — намагниченность насыщения образца.

Для реальных ферромагнитных кристаллов источником магнитостатического поля служат объемные и поверхностные неоднородности распределения намагниченности. Вклады последних в общую энергию системы убывают по мере увеличения толщины образца. Рассмотрим случай, когда ими можно пренебречь. Подобное допущение правомерно, например, в случае исследования систем с малым размагничивающим фактором в направлении OZ .

В дальнейшем будем предполагать, что в основном состоянии изменение намагниченности происходит ортогонально плоскости ДС (YOZ). Возникающее при этом поле размагничивания в окрестности ДС в винтеровском приближении имеет вид

$$\mathbf{H}_m = -4\pi M_x \mathbf{e}_x \quad (3)$$

и формирует эффективную ромбическую анизотропию по OX . Как указано в [13], при наличии поля смещения в направлении OZ 2π -ДС имеет внутреннюю структуру блоховского типа; при этом значение θ равно $\pi/2$.

Включение планарных компонент магнитного поля вызывает искажение в распределении намагниченности и нарушает ее симметрию [2], однако при определенных условиях эти отклонения малы и могут быть найдены методами теории возмущений.

Условием применимости теории возмущений в гармоническом приближении для исследования влияния планарных полей на состояние ДС является выполнение требований [13]

$$\left| \frac{H_y}{\beta M_0} \right|, \quad \left| \frac{H_x}{M_0 \rho^*} \right| \ll 1. \quad (4)$$

При этом будем полагать, что на фоне стационарных составляющих внешнее магнитное поле имеет малое периодическое возмущение, так что

$$\mathbf{H} = \mathbf{H}_0 + \mathbf{H}_1 e^{i\omega t}, \quad |\mathbf{H}_1/\mathbf{H}_0| \ll 1. \quad (5)$$

Изучение динамики системы проведем на основании уравнений Ландау–Лифшица с диссипативными членами в форме Гильберта, которые в терминах угловых переменных сферической системы координат имеют вид

$$\begin{aligned} -\alpha_G \sin^2 \theta \varepsilon \frac{\partial}{\partial \tau} \varphi - \sin \theta \varepsilon \frac{\partial}{\partial \tau} \theta &= \frac{\delta w}{\delta \varphi}, \\ -\alpha_G \varepsilon \frac{\partial}{\partial \tau} \theta + \sin \theta \varepsilon \frac{\partial}{\partial \tau} \varphi &= \frac{\delta w}{\delta \theta}, \end{aligned} \quad (6)$$

где $\varepsilon = \rho^*/\beta \ll 1$ — малый параметр, $\rho^* = \rho + 4\pi$, $\tau = \omega_0 t$, $\omega_0 = 2\rho^* \mu_B M_0/\hbar$, μ_B — магнетон Бора, α_G — диссипативная постоянная.

Дисперсионные соотношения для изгибных и пульсационных колебаний 2π -ДС исследованы ранее [13,14].

Полагая условия (4,5) выполненными, представим φ и θ в виде

$$\begin{aligned} \varphi &= \Phi + \varphi_1 + \dots, \\ \theta &= \pi/2 + \theta_1 + \dots, \end{aligned} \quad (7)$$

где $|\varphi_1|, |\theta_1| \ll 1$. При этом получаем следующую систему уравнений, линеаризованных в окрестности $\Phi(\xi)$ и $\theta_0 = \pi/2$:

$$\begin{aligned} \hat{G}_0 \begin{pmatrix} \varphi_1 \\ \theta_1 \end{pmatrix} + \varepsilon \frac{\partial}{\partial \tau} \begin{pmatrix} -\alpha_G & -1 \\ 1 & -\alpha_G \end{pmatrix} \begin{pmatrix} \varphi_1 \\ \theta_1 \end{pmatrix} \\ = \varepsilon \begin{pmatrix} -h_{1z} \sin \varphi_0 + h_{1y} \cos \varphi_0 \\ -h_{0x} & -h_{1x} \end{pmatrix}, \end{aligned} \quad (8)$$

$$\hat{G}_0(\Phi) = \begin{pmatrix} \hat{L}_1(\Phi) & 0 \\ 0 & \hat{L}_2(\Phi) \end{pmatrix} \quad (9)$$

— оператор основного приближения,

$$\hat{L}_1(\Phi) = -\frac{\partial^2}{\partial \xi^2} + \cos 2\Phi + \varepsilon h_{0z} \cos \Phi + \varepsilon h_{0y} \sin \Phi,$$

$$\begin{aligned} \hat{L}_2(\Phi) &= \hat{L}_1(\Phi) - [\Phi'^2 - \sin^2 \Phi] + \varepsilon, \\ h_i &= H_i/\rho^* M_0. \end{aligned} \quad (10)$$

Штрих у функции $\Phi(\xi)$ обозначает дифференцирование по переменной ξ , где $\xi = x/l$, $l = \sqrt{\alpha/\beta}$ — характерная магнитная длина. Функция Φ , описывающая равновесное распределение намагниченности, является решением уравнения

$$-\frac{\partial^2}{\partial \xi^2} \Phi + \sin \Phi \cos \Phi + \varepsilon h_x \sin \Phi - \varepsilon h_y \cos \Phi = 0. \quad (11)$$

В [13] решение этого уравнения, соответствующее 2π -ДС, было определено на основании методов теории возмущений в виде

$$\Phi(\xi) = \varphi_0(\xi) + \varepsilon h_y \cos \varphi_0(\xi) + \dots, \quad (12)$$

где

$$\varphi_0(\xi) = \pi + 2 \operatorname{arctg} \left\{ \frac{\sqrt{\varepsilon h_{0z}}}{\lambda} \operatorname{sh} \lambda (\xi - \xi_0) \right\},$$

$$\lambda = \sqrt{1 + \varepsilon h_{0z}}, \quad (13)$$

$\varphi_0(\xi)$ — решение уравнения (11) при $h_y = 0$ [10]. Оно описывает связанное состояние двух однополярных блоховских ДС, интервал между которыми равен $\delta \simeq l \ln(4/\varepsilon h_z)$ [14].

Нетрудно убедиться в том, что компоненты дифференциального оператора $L_2(\Phi)$ отличаются от компонент оператора $L_1(\Phi)$ на величину, пропорциональную ε ,

$$\hat{L}_2(\Phi) = \hat{L}_1(\Phi) + \varepsilon (1 + 2h_{0y} \sin \Phi - 2h_{0z}(1 - \cos \Phi)), \quad (14)$$

поэтому собственные функции (СФ) обоих операторов в нулевом приближении по ε совпадают.

В работе [13] СФ, описывающие состояние 2π -ДС, были найдены по теории возмущений.

$\psi_1(\xi) = \Phi'(\xi)$ — собственная функция оператора $\hat{L}_1(\Phi)$ с нулевым собственным значением; $\psi_z(\xi) = \sin \Phi - \varepsilon h_{0z} \xi \Phi' - \varepsilon h_{0y}$ удовлетворяет уравнению

$$\hat{L}_1(\Phi) \psi_z(\xi) = 2\varepsilon h_{0z} \psi_z(\xi) + 0(\varepsilon^2), \quad (15)$$

являясь, таким образом, второй СФ оператора $\hat{L}_1(\Phi)$.

Указанные собственные функции локализованы вблизи 2π -ДС и описывают ее состояние.

Представив решение уравнения (8) в виде разложения по этим функциям

$$\begin{aligned} \varphi_1(\xi, t) &= C_1(\omega) e^{i\omega t} \psi_1(\xi) + C_2(\omega) e^{i\omega t} \psi_2(\xi), \\ \theta_1(\xi, t) &= C_3(\omega) e^{i\omega t} \psi_1(\xi) + C_4(\omega) e^{i\omega t} \psi_2(\xi), \end{aligned} \quad (16)$$

получаем следующие уравнения для коэффициентов разложения:

$$\hat{G}_{ij}^*(\omega) C_j(\omega) = d_i, \quad d_i = \begin{pmatrix} 0 \\ -h_{1z} \\ -h_{0x} & -h_{1x} \\ 0 \end{pmatrix}, \quad (17)$$

$$\hat{G}_{ij}^*(\omega) =$$

$$\begin{pmatrix} -i\alpha_G \omega & 0 & i\omega & 0 \\ 0 & -i\alpha_G \omega + 2h_{0z} \omega_0 & 0 & i\omega \\ i\omega & 0 & -i\alpha_G \omega + \omega_0(1 - 2h_{0z}) & \omega_0 \frac{\pi}{2} h_{0y} \\ 0 & -i\omega & \omega_0 \frac{\pi}{2} h_{0y} & -i\alpha_G \omega + \omega_0 \end{pmatrix}. \quad (18)$$

В уравнениях (17) сохранены основные члены разложения по степеням ε .

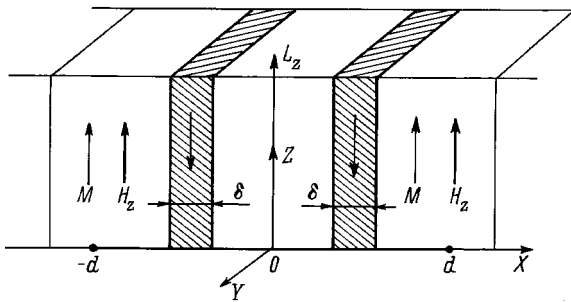


Рис. 1. Модель массивного ферромагнетика. $\delta \ll L_z$.

Коэффициенты разложения C_i в приближении $\alpha \ll 1$ равны

$$C_3(\omega) = -\alpha_G C_1(\omega),$$

$$C_1(\omega) = 1\omega_0\Delta^{-1}(\omega^2 - \Omega^2 + i\alpha_G\omega_0)\omega(1 + 2h_{0z})\frac{\pi}{2}h_{1x} + \Delta^{-1}\frac{\pi}{2}h_{0y}\omega\omega_0^2h_{1z},$$

$$C_2(\omega) = \omega_0\Delta^{-1}\left\{\omega\omega_0 + i\alpha_G\left[-\omega^2 + \omega_0^2\left(1 - 2h_{0z} - \left(\frac{\pi h_{0y}}{2}\right)^2\right)\right]\right\}h_{1z} - \omega_0^2\Delta^{-1}\alpha_G\omega\left(\frac{\pi}{2}\right)^2h_{0y}h_{1x},$$

$$C_4(\omega) = -\omega_0\Delta^{-1}[i\omega - \alpha_G\omega_0(1 - 2h_{0z})]h_{1z} - i\alpha_G\Omega^2\Delta^{-1}\left(\frac{\pi}{2}\right)^2h_{0y}h_{1x},$$

$$\Delta = \omega(\omega^2 - \Omega^2) - i2\alpha_G\omega_0 \times \left[-\omega^2 + \omega_0^2h_{0z}\left(1 - 2h_{0z} - \left(\frac{\pi h_{0y}}{2}\right)^2\right)\right],$$

$$\Omega = \omega_0\sqrt{2h_{0z}}. \quad (19)$$

Развиваемая теория относится к массивным ферромагнитным материалам, толщина которых существенно превосходит ширину 2π -ДС ($\delta \ll L_z$). Модель подобной системы схематически представлена на рис. 1.

В данном случае влияние поверхностных неоднородностей намагниченности, создающих магнитостатическое поле — главный источник взаимодействия между отдельными 2π -ДС, относительно невелика, и в основном приближении вклады 2π -ДС в восприимчивость образца можно учитывать аддитивным образом.

Динамические поправки к магнитному моменту образца с изолированной доменной стенкой на единицу объема V равны

$$\Delta \mathbf{M} = L_x^{-1}M_0 \int_0^d dx \Delta \mathbf{m} \quad (20)$$

(пределы интегрирования показаны на рис. 1),

$$\Delta \mathbf{m} = \begin{pmatrix} \cos \theta \\ \sin \varphi & \sin \theta \\ \cos \varphi & \sin \theta \end{pmatrix} - \begin{pmatrix} \cos \theta_0 \\ \sin \varphi_0 & \sin \theta_0 \\ \cos \varphi_0 & \sin \theta_0 \end{pmatrix}, \quad (21)$$

L_x — линейный размер образца в направлении, ортогональном доменной стенке.

Полагая, что доменные стенки распределены в ферромагнетике с линейной плотностью $n = 1/d$ (d — период доменной структуры), в пересчете на единицу объема находим

$$\langle \Delta M_x \rangle = \chi_{xx}(\omega) H_{1x}(\omega) + \chi_{xz}(\omega) H_{1z}(\omega),$$

$$\langle \Delta M_y \rangle = \chi_{yy}(\omega) H_{1y}(\omega),$$

$$\langle \Delta M_z \rangle = \chi_{zx}(\omega) H_{1x}(\omega) + \chi_{zz}(\omega) H_{1z}(\omega), \quad (22)$$

где

$$\chi_{xx}(\omega) = \chi_0 - i\alpha_G\chi_0\Delta^{-1}\omega_0(\Omega^2 - \omega^2)\pi^2l/\varepsilon d,$$

$$\chi_{zz}(\omega) = -\chi_0 4\omega_0^2\Delta^{-1} \left[\omega + i\alpha_G\omega_0 \times \left(-\frac{\omega^2}{\omega_0^2} + 1 - 2h_{0z} - \left(\frac{\pi h_{0y}}{2}\right)^2 \right) \right] l/\varepsilon d,$$

$$\chi_{xz}(\omega) = -\chi_{zx}(\omega) = \chi_0\alpha_G\omega_0^2\omega\Delta^{-1}\pi^2h_{0y}l/\varepsilon d,$$

$$\chi_{yy} = \chi_0, \quad (23)$$

χ_0 — восприимчивость однородно намагниченного образца в планарном поле. В рассматриваемом диапазоне частот ($\omega, \omega_0, \Omega \ll \omega_{\text{FMR}}, \omega_{\text{FMR}}$ — частота ферромагнитного резонанса) χ_0 практически является постоянной величиной, $\chi_0 = \varepsilon/\rho^*$.

Очевидно, что при $H_{0y} \neq 0$ система обладает гиротропными свойствами. Эффект связан с нарушением симметрии в распределении намагниченности под воздействием этой компоненты поля.

Относительный вклад элементов доменной структуры в общую восприимчивость системы определяется соотношением между периодом доменной структуры и величиной магнитной анизотропии $l/\varepsilon d$, которое входит в χ_{ij} в качестве множителя.

С ростом анизотропии и уменьшением периода доменной структуры ее вклад в магнитную восприимчивость системы возрастает и в области резонансной частоты Ω является основным.

На рис. 2 показано поведение вещественных $\chi'_{ij}(a)$ и мнимых $\chi''_{ij}(b)$ компонент тензора магнитной восприимчивости в ферромагнитных образцах со стандартными магнитными и релаксационными параметрами: $H_{0z}, H_{0y} \simeq 20$ Ое, $M_0 \simeq 20$ Г, $\alpha_G \simeq 10^{-1}$, $l/d \simeq 10^{-2}$, $\rho^* = 4\pi$, $\varepsilon = 10^{-1}$. Значение χ_0 для сравнения показано штриховой линией.

Проследим за поведением компонент тензора для некоторых частот.

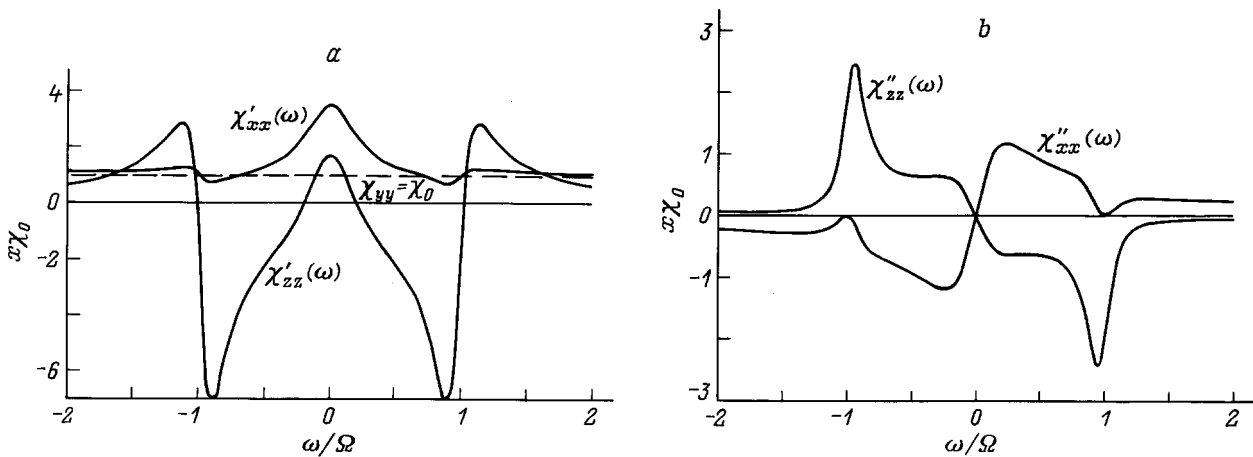


Рис. 2. Поведение вещественных χ'_{ij} (a) и мнимых χ''_{ij} (b) компонент тензора магнитной восприимчивости в ферромагнитных образцах со стандартными магнитными и релаксационными параметрами.

При $\omega = 0$ тензор в стандартных обозначениях имеет вид

$$\chi_{xx} = \chi_0 + \pi^2 l M_0^2 / d \left(\rho^* M_0^2 - 2M_0 H_{0z} - \left(\frac{\pi}{2} H_{0y} \right)^2 / \rho^* \right), \tag{24 a}$$

$$\chi_{zz} = 2l M_0 / d H_{0z}, \tag{24 b}$$

$$\chi_{yy} = \chi_0. \tag{24 c}$$

Соотношения (24) описывают статическую восприимчивость системы. Из них следует, что влияние поля H_x на намагниченность возрастает с увеличением значений остальных компонент, что является следствием снижения устойчивости равновесной структуры под действием внешних полей. Очевидно, что намагниченность образца сильно реагирует на поле смещения, особенно при $H_{0z} \rightarrow 0$. Если значение поля смещения устремить к нулю, то решетка 2π -ДС преобразуется в решетку однополярных 180° ДС, а $\chi_{zz}(0)$ стремится к бесконечности. От расходимости можно избавиться, введя в рассмотрение поле коэрцитивности h_c и положив $h_{0z} = -h_c$; при этом (24 b) полностью соответствует восприимчивости ферромагнетика со 180° ДС в потенциальной яме в пределе $\omega \rightarrow 0$ [16]. В том же пределе (24 a) соответствует компоненте χ_{xx} магнитной восприимчивости, которую можно получить на основании результатов [17] для решетки однополярных 180° ДС.

Интересно поведение намагниченности при приближении частоты внешнего поля к $\Omega(h_{0z})$. Указывая на резонанс в системе, резко увеличиваются значения компонент тензора восприимчивости, которые при $\omega = \Omega(h_{0z})$ равны

$$\chi_{xx}(\Omega) \simeq 0,$$

$$\chi_{xz}(\Omega) = -\chi_{zx}(\Omega) = -\frac{i\pi^2 l / d}{\Omega / \omega_0} \frac{h_{0y}}{1 + 2h_{0z} + \left(\frac{\pi}{2} h_{0y} \right)^2},$$

$$\chi_{zz}(\Omega) = \frac{i4l / d_x}{\alpha_G (\Omega / \omega_0)^2} \frac{\Omega / \omega_0 - i\alpha_G \left[1 - \left(\frac{\pi}{2} h_{0y} \right)^2 - 4h_{0z} \right]}{1 + 2h_{0z} + \left(\frac{\pi}{2} h_{0y} \right)^2}. \tag{25}$$

Очевидно, это связано с появлением в поле смещения H_z нового локального уровня с собственной частотой $\Omega(h_{0z})$, величина которой значительно ниже частоты однородного ферромагнитного резонанса $\Omega(h_{0z}) / \omega_{\text{FMR}} = 2\varepsilon h_{0z} \ll 1$.

Как указано в [14], $\Omega(h_{0z})$ равна энергии активации пульсационных колебаний связанного состояния двух 180° ДС, образующих 2π -ДС в поле H_z . При этом в ферромагнетиках с малыми диссипативными характеристиками, помещенных в переменное поле смещения, при резонансе возможно динамическое преобразование 2π -ДС в более сложную структуру.

Следует отметить, что в реальных системах существуют и другие локализованные энергетические уровни, связанные, например, с дискретностью спектра спиновых волн из-за конечных размеров образца L_z [5]. Однако для массивных образцов эти уровни не будут ярко выражены в силу выполнения условия квазинепрерывности спектра спин-волновых возмущений в направлении OZ $l(q_n - q_{n-1}) \simeq l / L_z \ll 1$, где q_n — волновой вектор дискретного спектра в направлении OZ , ортогональном плоскости образца.

Список литературы

- [1] Ф. Блох. Молекулярная теория магнетизма. ОНТИ, НКТП, Харьков, Киев (1936). 111 с.
- [2] А. Малоземов, Дж. Слозуски. Доменные стенки в материалах с цилиндрическими магнитными доменами. Мир, М. (1982). 380 с.
- [3] А.М. Косевич, Б.А. Иванов, А.С. Ковалев. Нелинейные волны намагниченности. Динамические и топологические солитоны. Наук. думка, Киев (1983). 190 с.

- [4] L.R. Walker (unpubl.). Quoted by F. Dillon. In: Magnetism/ Ed. G.T. Rado, H. Suhl. Pergamon press, N.Y. (1963). V. 3. P. 451–465.
- [5] Л.М. Дедух, В.И. Никитенко, В.Т. Сыногач. ЖЭТФ **94**, 9, 312 (1988).
- [6] И.А. Гишинский. ЖЭТФ **68**, 3, 1032 (1975).
- [7] Г.Е. Ходенков. ФММ **61**, 5, 850 (1986).
- [8] Ю.А. Димашко, П.П. Шатский, Д.А. Яблонский. ФТТ **30**, 10, 3084 (1988).
- [9] А.В. Михайлов, И.А. Шимохин. ЖЭТФ **97**, 6, 1966 (1990).
- [10] М.Я. Ширококов. ЖЭТФ **15**, 1, 57 (1945).
- [11] Н.Н. Куделькин, В.В. Рандошкин, Г.Е. Ходенков. Письма в ЖТФ **9**, 22, 1357 (1983).
- [12] Г.Е. Ходенков. ФММ **61**, 5, 850 (1986).
- [13] Ю.И. Джежеря, А.М. Яковенко. ФТТ **37**, 8, 2444 (1995).
- [14] Ю.И. Джежеря. ФТТ **35**, 10, 2270 (1993).
- [15] В.В. Белошапкин, Г.П. Берман, Е.В. Штуккерт. ЖЭТФ **100**, 4(10), 1238 (1991).
- [16] В.Г. Барьяхтар, Ю.И. Горобец. Цилиндрические магнитные домены и их решетки. Наук. думка, Киев (1988). 168 с.
- [17] Ю.И. Горобец, В.И. Финохин, Р.А. Шевгалишин. УФЖ **34**, 8, 1232 (1989).